

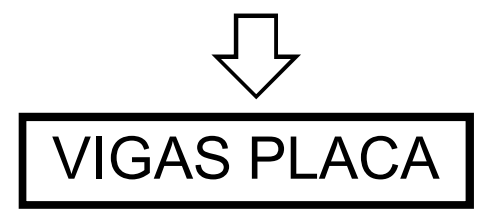
SECCIONES CON ZONA COMPRIMIDA NO RECTANGULAR - VIGA PLACA

Lámina 3



FIUBA – Depto. Construcciones y Estructura 74.01 y 94.01 - HORMIGON

# **ANÁLISIS DE SECCIONES** CON ZONA COMPRIMIDA **NO RECTANGULAR**

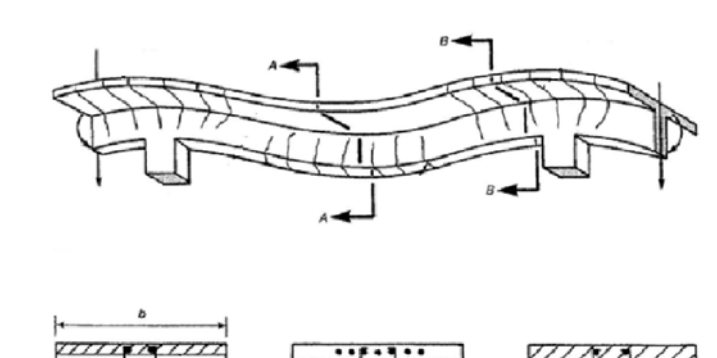


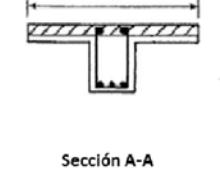
SECCIONES CON ZONA COMPRIMIDA NO RECTANGULAR - VIGA PLACA

Lámina 4



FIUBA – Depto. Construcciones y Estructuras 74.01 y 94.01 - HORMIGON









Sección A-A

Deformación de una viga continua, con momento positivo en el tramo (corte A-A) y negativo en los apoyos (corte B-B)

Reinforced Concrete - J.Wight y J. MacGregor (Pag. 148)

SECCIONES CON ZONA COMPRIMIDA NO RECTANGULAR - VIGA PLACA



FIUBA – Depto. Construcciones y Estructuras 74.01 y 94.01 - HORMIGON I

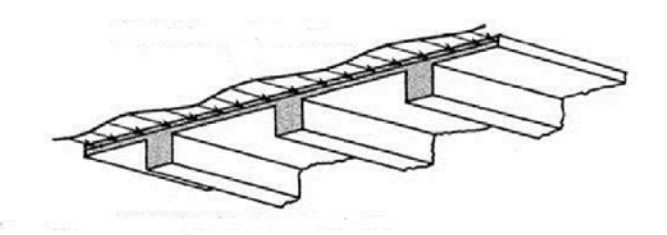
COMO LA ESTRUCTURA ES MONOLÍTICA, POR RAZONES DE **COMPATIBILIDAD:** 

EL ALA EN LA SUPERFICIE DE CONTACTO CON EL NERVIO, SUFRE LAS MISMAS DEFORMACIONES LONGITUDINALES Y FLEXIONES QUE LA VIGA.



FIUBA – Depto. Construcciones y Estructuras 74.01 y 94.01 - HORMIGON I

### DISTRIBUCIÓN DE TENSIONES (REAL)



Las zonas cercanas al nervio, están más solicitadas que las más alejadas.

Reinforced Concrete - J.Wight y J. MacGregor (Pag. 149)

SECCIONES CON ZONA COMPRIMIDA NO RECTANGULAR - VIGA PLACA

Lámina



FIUBA – Depto. Construcciones y Estructuras 74.01 y 94.01 - HORMIGON I

EN LA PRÁCTICA SE DESISTE DE UN
CONOCIMIENTO EXACTO DE LA DISTRIBUCIÓN
DE LAS TENSIONES DE COMPRESIÓN EN LA
PLACA.



SE CONSIDERA UNA DISTRIBUCIÓN DE
TENSIONES IDEALIZADA QUE <u>NO SE</u>

<u>EXTIENDE A TODA LA LOSA,</u>

<u>SINO A UNA ZONA VECINA AL NERVIO DE LA</u>

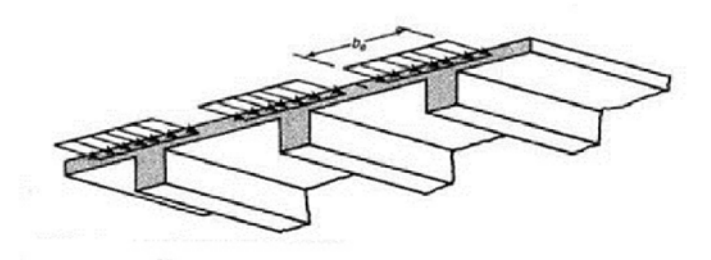
VIGA.

SECCIONES CON ZONA COMPRIMIDA NO RECTANGULAR - VIGA PLACA

Lámina 8



FIUBA – Depto. Construcciones y Estructuras 74.01 y 94.01 - HORMIGON I DISTRIBUCIÓN DE TENSIONES (IDEALIZADA)



La tensiones fuera del ancho be se desprecian.

Reinforced Concrete – J.Wight y J. MacGregor (Pag. 149)

SECCIONES CON ZONA COMPRIMIDA NO RECTANGULAR - VIGA PLACA

Lámina 9



FIUBA – Depto. Construcciones y Estructura 74.01 y 94.01 - HORMIGON

EL ANCHO DE LA PLACA A CONSIDERAR SE DENOMINA: **be** 

## ANCHO EFECTIVO Ó ANCHO COLABORANTE.

SECCIONES CON ZONA COMPRIMIDA NO RECTANGULAR - VIGA PLACA

Lámina 10



FIUBA – Depto. Construcciones y Estructuras 74.01 y 94.01 - HORMIGON I

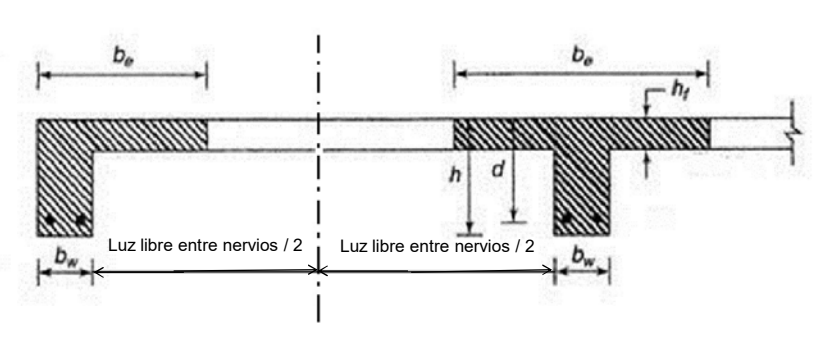
Cuando el ancho be, está sometido uniformemente a 0,85 f'c, dará aproximadamente la misma fuerza de compresión que se desarrolla en toda la zona comprimida.

SECCIONES CON ZONA COMPRIMIDA NO RECTANGULAR - VIGA PLACA

Lámina 11



Nomenclatura utilizada para el cálculo del ancho efectivo be



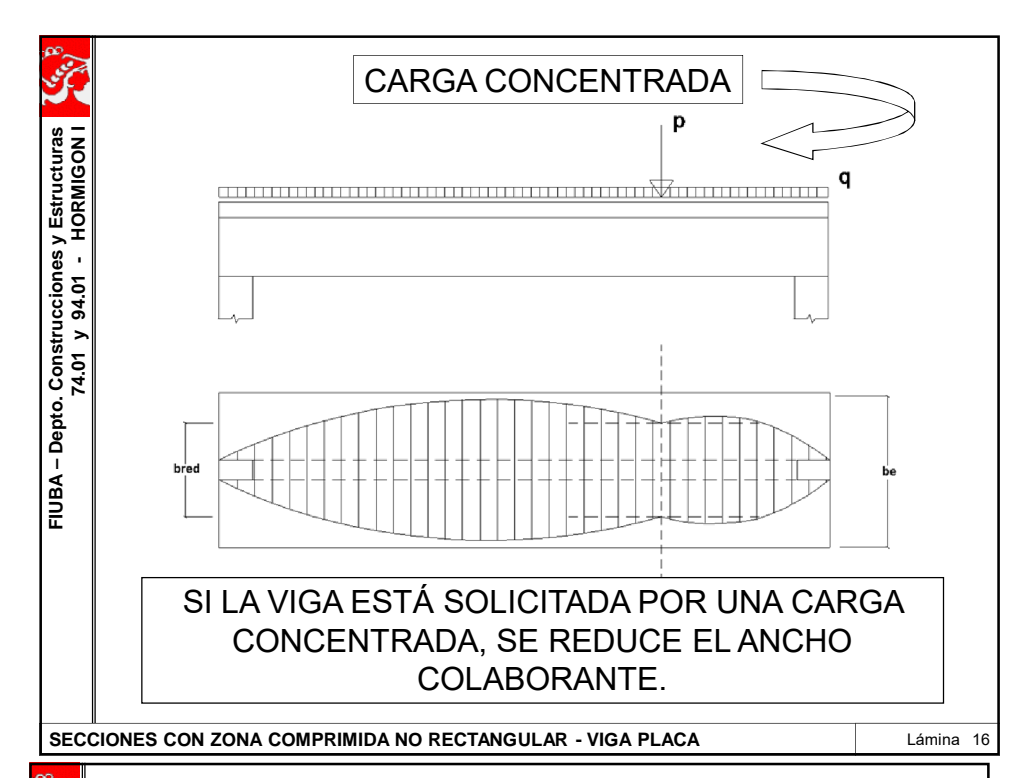
I: longitud de la viga sometida a flexión

Reinforced Concrete - J.Wight y J. MacGregor (Pag. 150)



CARGA DISTRIBUIDA

LONG A PAGA - PORMIGON - HORMIGON -



FIUBA – Depto. Construcciones y Estructuras 74.01 y 94.01 - HORMIGON

EL ANCHO DE COLABORACIÓN DISMINUYE EN LA ZONA DE INTRODUCCIÓN DE CARGAS **CONCENTRADAS** 

SECCIONES CON ZONA COMPRIMIDA NO RECTANGULAR - VIGA PLACA



FIUBA – Depto. Construcciones y Estructuras 74.01 v 94.01 - HORMIGON I

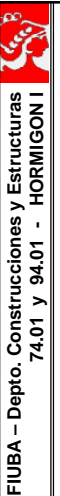
## REDUCCIÓN DE be POR CARGA **CONCENTRADA EN EL TRAMO**

$$be_{red} = \chi.be$$

$$be_{red} = \frac{Mq + 0.6 Mp}{Mq + Mp}be$$

EN GENERAL be SE REDUCE 40% CUANDO HAY UNA CARGA CONCENTRADA.

Esta reducción es una recomendación de la cátedra de Hormigón I



## EN LOS APOYOS DE VIGAS CONTINUAS, <u>CUANDO LA PLACA ESTÁ COMPRIMIDA</u> SE HARÁ LA REDUCCIÓN DEL ANCHO COLABORANTE **(be)**



 $be_{red} = 0.60.be$ 

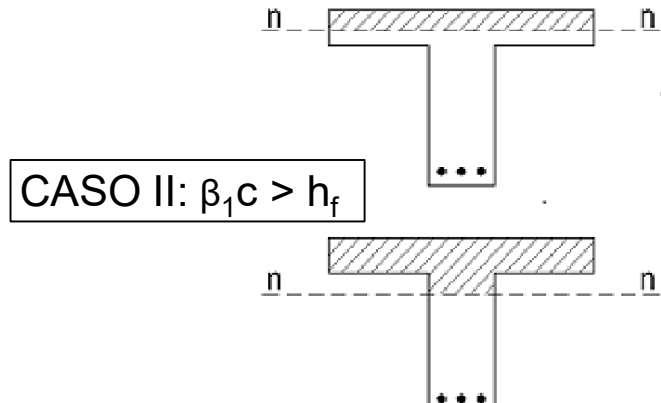
SECCIONES CON ZONA COMPRIMIDA NO RECTANGULAR - VIGA PLACA

Lámina 19

FIUBA – Depto. Construcciones y Estructuras 74.01 y 94.01 - HORMIGON I

Qué pasa con la posición del eje neutro cuando la sección no es rectangular?

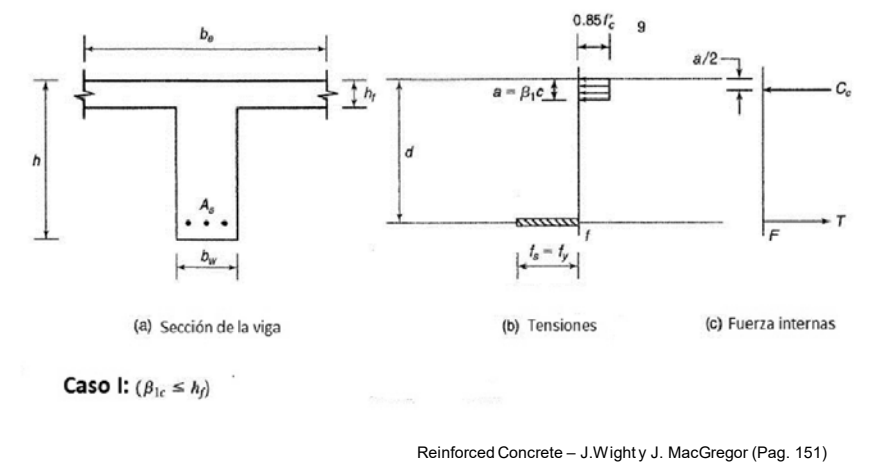
CASO I:  $\beta_1 c \le h_f$ 



SECCIONES CON ZONA COMPRIMIDA NO RECTANGULAR - VIGA PLACA

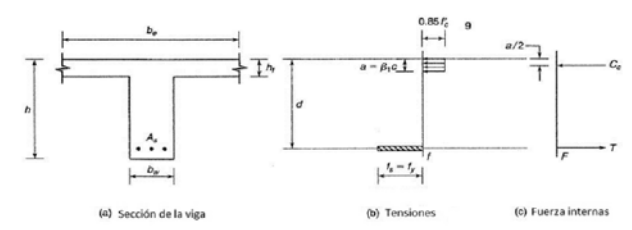
Lámina 20

FIUBA – Depto. Construcciones y Estructuras 74.01 y 94.01 - HORMIGON I CASO I: Análisis de Mn para secciones con placa comprimida (en zona de momentos positivos), cuando  $a = \beta 1 . c \le hf$ 





\* Para el siguiente análisis, se supone que no hay armadura comprimida.



• Suponer: a = β1 . c ≤ hf

εs ≥ εy

• Como Cc = T, calcular:  $a = \frac{As.fy}{0.85.f'c.be}$ 

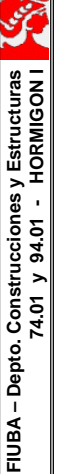
• Si: a ≤ hf, chequear si: εs ≥ εy

• Calcular:  $Mn = As. fy.(d - \frac{a}{2})$ 

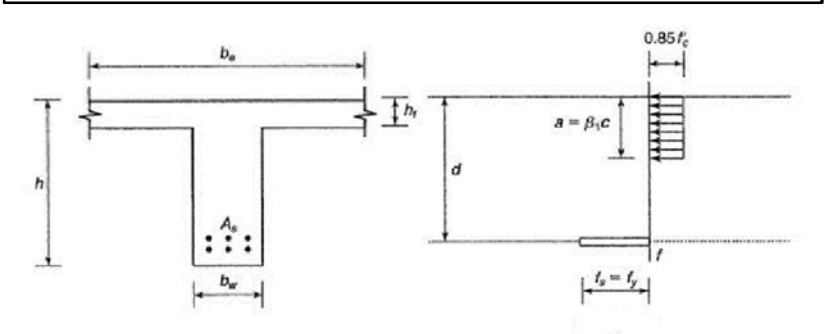
Reinforced Concrete – J.Wight y J. MacGregor (Pag. 151)

SECCIONES CON ZONA COMPRIMIDA NO RECTANGULAR - VIGA PLACA

Lámina 20



CASO II: Análisis de Mn para secciones con placa comprimida (en zona de momentos positivos), cuando  $a = \beta 1. c > hf$ 

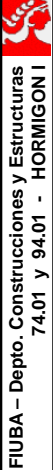


**Caso II:** (a =  $\beta$ 1. c > hf)

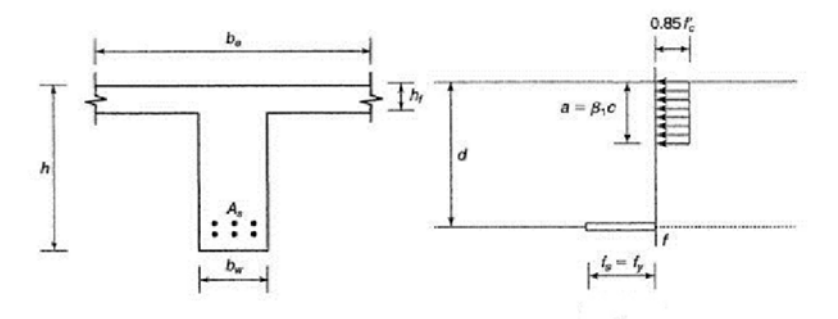
Reinforced Concrete - J.Wight y J. MacGregor (Pag. 153)

SECCIONES CON ZONA COMPRIMIDA NO RECTANGULAR - VIGA PLACA

Lámina 23



\* Para el siguiente análisis, se supone que no hay armadura comprimida.



En este caso, se divide la zona comprimida en dos:

- a) Alas comprimidas
- b) Nervio comprimido

Reinforced Concrete – J.Wight y J. MacGregor (Pag. 153)



FIUBA – Depto. Construcciones y Estructuras 74.01 y 94.01 - HORMIGON

- a) Alas comprimidas: Ccf = 0,85 . f'c. (be bw) . hf
- b) Nervio comprimido: Ccw = 0,85 . f'c . bw . a

Reinforced Concrete - J. Wight v J. MacGregor (Pag. 153)

SECCIONES CON ZONA COMPRIMIDA NO RECTANGULAR - VIGA PLACA



 $C_c = C_{cf} + C_{cw} \begin{cases} C_{cf} = \alpha_1 f_c \mid h_f (b_e - b_w) \\ C_{cw} = \alpha_1 f_c \mid \beta_1 c b_w \end{cases}$ 

Reemplazando en las ecuaciones de equilibrio

$$\begin{cases} N_n = T - \left(C_{cf} + C_{cw}\right) - C_s = N_u / \phi \\ M_{ns} = \left(C_{cf} \left[d - \frac{h_f}{2}\right] + C_{cw} j_{dc}\right) + C_s j_{ds} = M_{us} / \phi \end{cases}$$

En el caso particular: sin esfuerzo normal y sin armadura de compresión, las ecuaciones se reducen a

$$\begin{cases} T - \left(C_{cf} + C_{cw}\right) = 0 \\ C_{cf} \left[d - \frac{h_f}{2}\right] + C_{cw} j_{dc} = M_{us} / \phi \end{cases}$$

#### SECCIONES CON ZONA COMPRIMIDA NO RECTANGULAR - VIGA PLACA

Lámina 26



En este caso, la profundidad:  $a = \beta 1$ . c, es desconocida.

Pero debe cumplirse el equilibrio: T = C

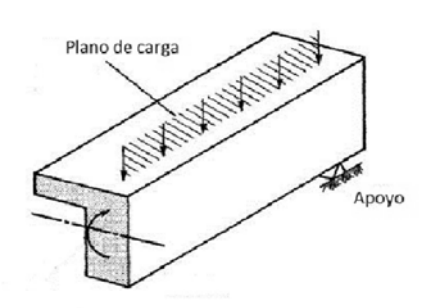
Como: T = As . fy = Ccf + Ccw

Resulta:  $a = \frac{T - Ccf}{0.85. f'c.bw}$ 

Se debe confirmar que: εs ≥ εy

Entonces:  $Mn = Ccf.(d - \frac{hf}{2}) + Ccw.(d - \frac{a}{2})$ 

#### **VIGAS CON SECCIONES NO SIMÉTRICAS**



La carga aplicada, genera momentos que deben ser resistidos por un momento interno respecto a un eje horizontal.

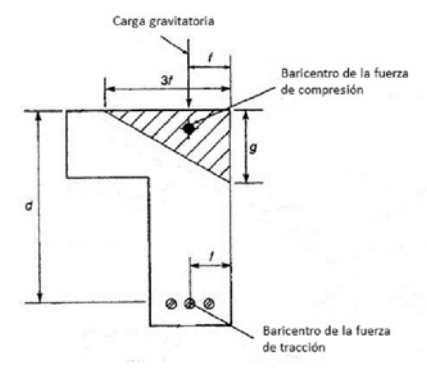
Reinforced Concrete - J.Wight y J. MacGregor (Pag. 160)

SECCIONES CON ZONA COMPRIMIDA NO RECTANGULAR - VIGA PLACA



FIUBA – Depto. Construcciones y Estructuras 74.01 y 94.01 - HORMIGON I

Para el caso de una viga L con carga gravitatoria, como la resultante de la fuerza de tracción se encuentra a una distancia f del borde de la sección, la zona comprimida tendrá una forma triangular y el eje neutro resultará inclinado.

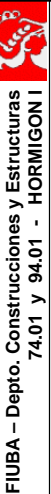


 $\frac{1}{2}$ .(3f.g.0,85.f'c) = As.fy Como: C = T y suponiendo que fs = fy =>

Reinforced Concrete - J.Wight y J. MacGregor (Pag. 161)

#### SECCIONES CON ZONA COMPRIMIDA NO RECTANGULAR - VIGA PLACA

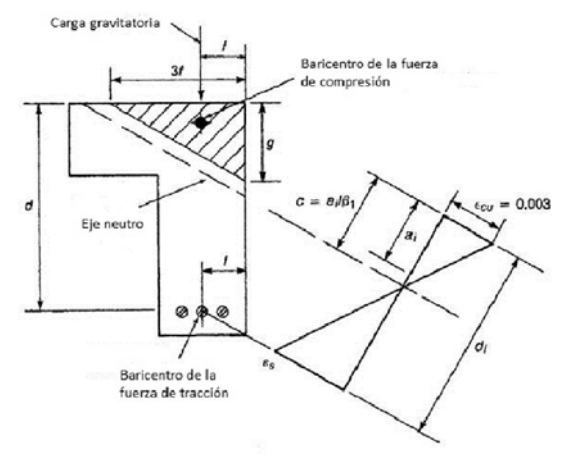
Lámina 29



El momento respecto a un eje horizontal (para la zona comprimida con forma triangular):

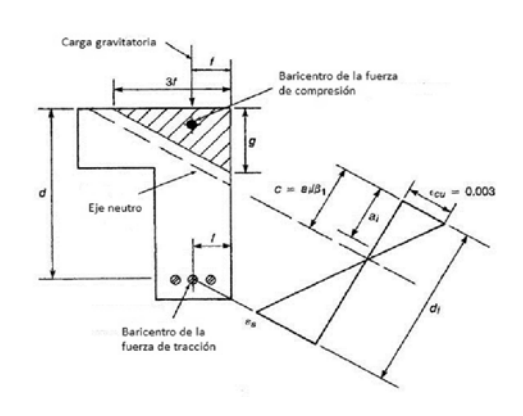
Mn = As . fy . jd

Con: 
$$jd = d - g/3$$



Reinforced Concrete - J.Wight y J. MacGregor (Pag. 161)

Página 123



Para chequear si: fs = fy ó si la sección está controlada por tracción, se usará el diagrama de tensiones inclinado.

Se puede suponer que:  $\varepsilon s = \varepsilon t$  y usar la ecuación:  $\varepsilon t = (\frac{dt - c}{c})\varepsilon cu$ , para calcular  $\varepsilon s$ , usando di en lugar de dt.

Reinforced Concrete – J.Wight y J. MacGregor (Pag. 161)

SECCIONES CON ZONA COMPRIMIDA NO RECTANGULAR - VIGA PLACA

Lámina 31



FIUBA – Depto. Construcciones y Estructuras 74.01 y 94.01 - HORMIGON I

FIN -

ELU DE AGOTAMIENTO A Flexión – Secciones con zona comprimida no rectangular

GRACIAS POR SU ATENCION !!!